



## Capítulo V

### CONDUTORES, DIELETRICOS E CAPACITÂNCIA

#### 5.1 – CORRENTE (I) E DENSIDADE DE CORRENTE ( $\vec{J}$ )

A **corrente elétrica** (convencional) representa o movimento de cargas positivas e é expressa por:

$$I = \frac{dQ}{dt} > 0 \quad (\text{Unidade de corrente: C/s ou A})$$

A **densidade de corrente de convecção**  $\vec{J}$  (uma grandeza vetorial) representa o movimento de um volume (nuvem) de cargas com densidade volumétrica  $\rho_v$  (em C/m<sup>3</sup>) numa velocidade  $\vec{v}$  (em m/s).

$$\vec{J} = \rho_v \vec{v} \quad (\text{Unidade de densidade de corrente: A/m}^2)$$

Para um condutor com densidade de carga dos elétrons  $\rho_v = \rho_e$ , onde os elétrons se deslocam com velocidade de arrastamento (“driftspeed”)  $\vec{v} = \vec{v}_d = -\mu_e \vec{E}$  ( $\mu_e$  = mobilidade dos elétrons), tem-se:

$$\vec{J} = \rho_e \vec{v}_d = \rho_e (-\mu_e \vec{E}) = (-\rho_e \mu_e) \vec{E}$$

Definindo  $\sigma = -\rho_e \mu_e$  como condutividade do condutor (em S/m), obtemos finalmente:

$$\vec{J} = \sigma \vec{E} \rightarrow \text{densidade de corrente de condução} \quad (\text{Forma pontual da Lei de Ohm})$$

A tabela a seguir mostra as expressões para cálculo da condutividade  $\sigma$  de vários meios. Observe que o sinal menos é compensado pelo valor negativo da densidade volumétrica de carga negativa.

Meio	Condutividade $\sigma$ [S/m]
Líquido ou gás	$\sigma = -\rho_- \mu_- + \rho_+ \mu_+$
Condutor	$\sigma = -\rho_e \mu_e$
Semicondutor	$\sigma = -\rho_e \mu_e + \rho_h \mu_h$

$\mu$  = mobilidade da carga (sempre +) [m<sup>2</sup>/(V s)]

$\rho$  = densidade volumétrica de carga ( $\pm$ ) [C/m<sup>3</sup>]

$h \rightarrow$  lacuna ou buraco (do inglês “hole”)

$e \rightarrow$  elétron

#### Relação entre corrente e densidade de corrente (ver figura):

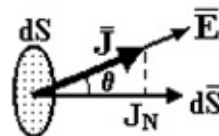
A corrente  $dI$  que atravessa uma área  $dS$  é dada por (ver figura):

$$dI = J_N dS \quad (\text{de onde tem-se: } J_N = \frac{dI}{dS})$$

$$dI = J \cos \theta dS = J dS \cos \theta$$

$$dI = \vec{J} \cdot d\vec{S}$$

Daí, 
$$I = \int_S \vec{J} \cdot d\vec{S}$$





## 5.2 – CONTINUIDADE DA CORRENTE

A corrente através de uma superfície fechada (fluxo de cargas positivas para fora da superfície) é igual a razão do decréscimo de cargas positivas (ou acréscimo de cargas negativas) no interior da região – **princípio da continuidade**. Matematicamente, expressamos como:

$$\boxed{I = \oint_S \vec{J} \cdot d\vec{S} = -\frac{dQ_i}{dt}} \quad (\text{Forma integral da equação da continuidade})$$

onde  $+\frac{dQ_i}{dt}$  = razão (taxa) de acréscimo (incremento) de cargas no tempo dentro da superfície.

Aplicando o teorema da divergência à expressão acima, obtemos:

$$\boxed{\vec{\nabla} \cdot \vec{J} = -\frac{\partial \rho_v}{\partial t}} \quad (\text{Forma pontual da equação da continuidade})$$

*“A corrente ou carga por segundo que sai (diverge) de um pequeno volume é igual a razão de decréscimo de carga por unidade de volume em cada ponto.”*

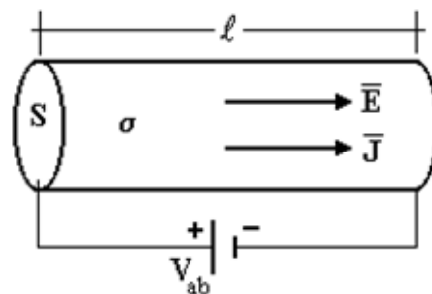
## 5.3 – CONDUTORES METÁLICOS – RESISTÊNCIA (R)

Definição de **resistência** de um condutor qualquer:

$$\boxed{R = \frac{V_{ab}}{I} = \frac{-\int_b^a \vec{E} \cdot d\vec{L}}{\int_S \sigma \vec{E} \cdot d\vec{S}}} \quad [\Omega] (\text{parâmetro positivo})$$

Para um condutor que possui *seção reta uniforme* (condutor cilíndrico da figura, com área S e comprimento  $\ell$ ):

$$R = \frac{V_{ab}}{I} = \frac{-\int_\ell^0 \vec{E} \cdot d\vec{L}}{\int_S \sigma \vec{E} \cdot d\vec{S}} = \frac{E\ell}{\sigma ES} \Rightarrow \boxed{R = \frac{\ell}{\sigma S}}$$



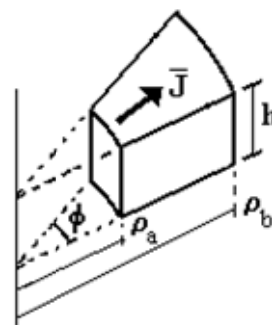
**Exemplo:** Calcular R para o condutor em forma de cunha truncada, para  $\vec{J}$  (ou I) no sentido radial.

$$J = \frac{I}{S} = \frac{I}{\rho \phi h} = \frac{k}{\rho} \Rightarrow \vec{E} = \frac{\vec{J}}{\sigma} = \frac{k}{\sigma \rho} \vec{a}_\rho$$

$$R = \frac{\int_{\rho_a}^{\rho_b} \frac{k}{\sigma \rho} d\rho}{\int_0^h \int_0^\phi \frac{k}{\rho} \rho d\phi dz} = \frac{\left[ \frac{k}{\sigma} \ln \rho \right]_{\rho_a}^{\rho_b}}{k\phi h} = \frac{\ln(\rho_b / \rho_a)}{\sigma \phi h}$$

Outro modo – usando  $R = \int dR$  onde  $dR = \frac{d\ell}{\sigma S} = \frac{d\rho}{\sigma \rho \phi h}$

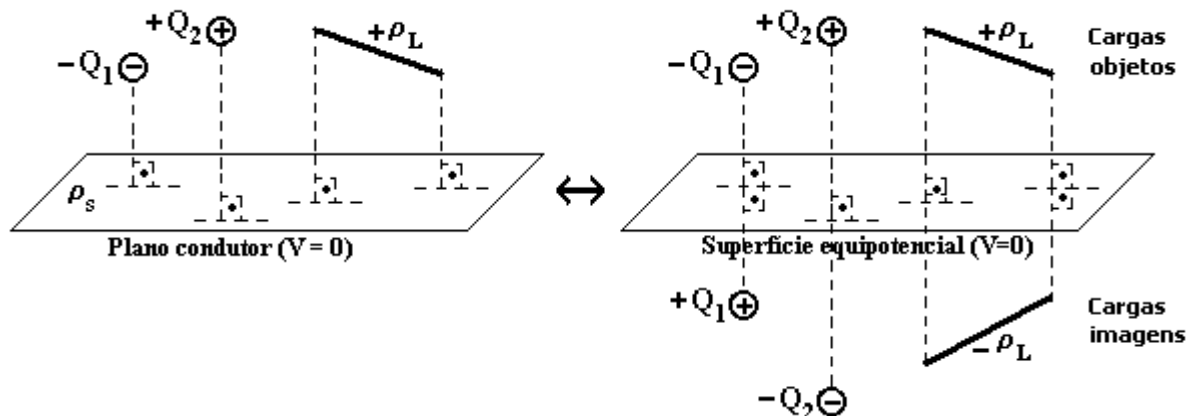
$$R = \int_{\rho_a}^{\rho_b} \frac{d\rho}{\sigma \rho \phi h} = \frac{1}{\sigma \phi h} \int_{\rho_a}^{\rho_b} \frac{d\rho}{\rho} = \frac{1}{\sigma \phi h} [\ln \rho]_{\rho_a}^{\rho_b} = \frac{\ln(\rho_b / \rho_a)}{\sigma \phi h}$$





## 5.4 – O MÉTODO DAS IMAGENS

**Aplicação:** Na solução de problemas envolvendo um plano condutor aterrado pela substituição deste por uma superfície equipotencial mais as cargas imagens, como ilustra a figura.



**Exemplo:** Calcular o campo elétrico  $\vec{E}$  no ponto  $P(0,1,1)$  m, para a configuração mostrada abaixo.

Aplicando o método das imagens, temos:

$$\vec{E} = \vec{E}_1 + \vec{E}_2$$

onde  $\vec{E}_1$  e  $\vec{E}_2$  são os campos no ponto P devido, respectivamente, a carga objeto (carga original) e a carga imagem.

Assim,

$$\vec{E} = \frac{Q_1}{4\pi\epsilon_0 R_1^2} \vec{a}_{R_1} + \frac{Q_2}{4\pi\epsilon_0 R_2^2} \vec{a}_{R_2}$$

onde:

$\vec{a}_{R_1} = \vec{R}_1 / |\vec{R}_1|$ , sendo  $\vec{R}_1 = \vec{a}_y - \vec{a}_z$  o vetor distância orientado de  $Q_1 = Q$  a P,

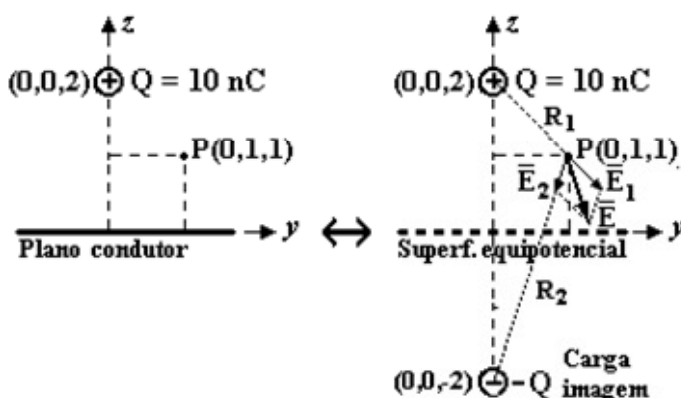
$\vec{a}_{R_2} = \vec{R}_2 / |\vec{R}_2|$ , sendo  $\vec{R}_2 = \vec{a}_y + 3\vec{a}_z$  o vetor distância orientado de  $Q_2 = -Q$  a P.

Substituindo os valores, temos:

$$\vec{E} = \frac{10 \times 10^{-9}}{4\pi \frac{10^{-9}}{36\pi} 2} \frac{\vec{a}_y - \vec{a}_z}{\sqrt{2}} + \frac{-10 \times 10^{-9}}{4\pi \frac{10^{-9}}{36\pi} 10} \frac{\vec{a}_y + 3\vec{a}_z}{\sqrt{10}}$$

$$\vec{E} = \frac{90}{2\sqrt{2}} (\vec{a}_y - \vec{a}_z) - \frac{90}{10\sqrt{10}} (\vec{a}_y + 3\vec{a}_z) = 31,82 (\vec{a}_y - \vec{a}_z) - 2,85 (\vec{a}_y + 3\vec{a}_z)$$

Daí:  $\boxed{\vec{E} = 28,97\vec{a}_y - 40,35\vec{a}_z} \text{ [V/m]}$  (Nota: Conferir o sentido de  $\vec{E}$  na figura)





## 5.5 – A NATUREZA DOS MATERIAIS DIELÉTRICOS – POLARIZAÇÃO (P)

**Polarização  $\bar{P}$**  é definido como sendo o momento elétrico total por unidade de volume, isto é:

$$\bar{P} = \lim_{\Delta v \rightarrow 0} \frac{1}{\Delta v} \sum_{i=1}^{n\Delta v} \bar{p}_i = \lim_{\Delta v \rightarrow 0} \frac{\bar{P}_{total}}{\Delta v} \quad (\text{Unidade: } C/m^2 - \text{mesma unidade de } \bar{D})$$

onde  $n$  é o número de dipolos elétricos por unidade de volume  $\Delta v$

A lei de Gauss relaciona a densidade de fluxo elétrico  $\bar{D}$  com a *carga elétrica livre*,  $Q$ , isto é:

$$Q = \oint \bar{D} \cdot d\bar{S} \quad (\text{Nota: } \bar{D} \text{ sai ou diverge da carga livre positiva})$$

Por analogia, pode-se também relacionar o campo  $\bar{P}$  com uma carga,  $Q_P$ , que produz este campo, sendo esta carga chamada de *carga de polarização*.

$$Q_P = -\oint \bar{P} \cdot d\bar{S} \quad (\text{Nota: } \bar{P} \text{ sai ou diverge da carga de polarização negativa})$$

A lei Gauss em termos da *carga total*,  $Q_T$ , (lei de Gauss generalizada) é expressa por:

$$Q_T = \oint \epsilon_0 \bar{E} \cdot d\bar{S}$$

onde:

$Q_T = Q + Q_P$  = soma da carga livre com a carga de polarização

$\epsilon_0 = 8,854 \times 10^{-12} = \text{permissividade elétrica do vácuo}$  (unidade: F/m)

Substituindo as cargas pelas suas expressões com integrais, obtemos a seguinte expressão geral que relaciona os 3 campos  $\bar{D}$ ,  $\bar{E}$  e  $\bar{P}$ , para qualquer tipo de meio:

$$\bar{D} = \epsilon_0 \bar{E} + \bar{P} \quad (\text{Nota: No vácuo } \bar{P} = 0)$$

Para um material linear, homogêneo e isotrópico (mesma propriedade em todas as direções) tem-se:

$$\bar{P} = \chi_e \epsilon_0 \bar{E} \quad [C/m^2]$$

sendo  $\chi_e$  é a *suscetibilidade elétrica do material* (constante adimensional,  $\chi$  lê-se “csi”). Esta constante é relacionada com a *permissividade elétrica relativa* (ou constante dielétrica) do material,  $\epsilon_R$ , (grandeza também adimensional) através da expressão:

$$\chi_e = \epsilon_R - 1$$

Combinando estas 3 últimas equações obtém-se:

$$\bar{D} = \epsilon \bar{E}$$

onde:

$$\epsilon = \epsilon_R \epsilon_0$$

sendo  $\epsilon$  a *permissividade elétrica absoluta* do material, dada em F/m.



Relações usando as densidades volumétricas de carga livre,  $\rho_v$  (ou simplesmente  $\rho$ ), de carga de polarização,  $\rho_p$ , e de carga total,  $\rho_T$ :

$$Q = \int_V \rho_v dv$$

$$\nabla \cdot \vec{D} = \rho_v$$

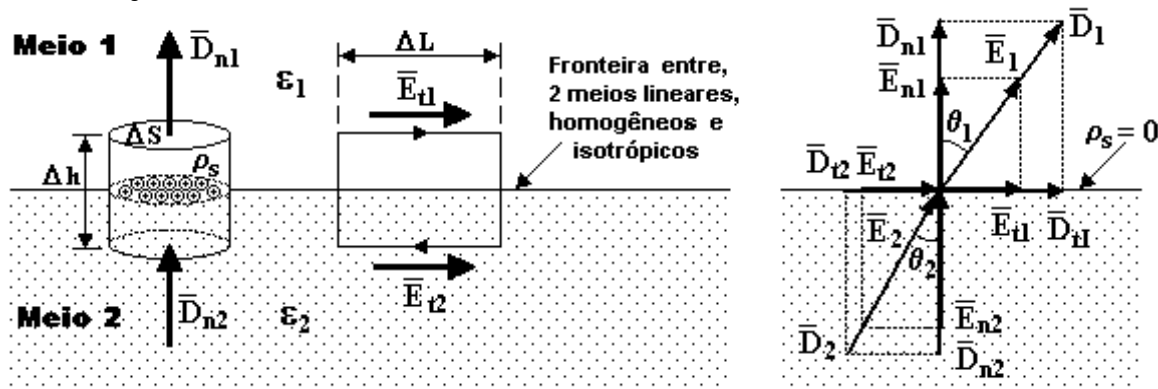
$$Q_P = \int_V \rho_P dv$$

$$\nabla \cdot \vec{P} = -\rho_P$$

$$Q_T = \int_V \rho_T dv$$

$$\nabla \cdot \epsilon_0 \vec{E} = \rho_T$$

## 5.6 – CONDIÇÕES DE CONTORNO PARA MATERIAIS DIELETRICOS PERFEITOS



### Condição de contorno para as componentes tangenciais:

Para o pequeno percurso fechado retangular da figura, pode-se aplicar:

$$\oint_{\text{retângulo}} \vec{E} \cdot d\vec{L} = 0 \quad (\text{válida para o campo } \vec{E} \text{ conservativo})$$

Fazendo  $\Delta h \rightarrow 0$  (tendendo a fronteira), obtemos:

$$E_{t1}\Delta L - E_{t2}\Delta L = 0 \Rightarrow E_{t1} = E_{t2} \Rightarrow \boxed{E_{t1} = E_{t2}} \quad (E_t \text{ é contínuo})$$

### Condição de contorno para as componentes normais:

Para o pequeno cilindro da figura, pode-se aplicar:

$$\oint_{\text{cilindro}} \vec{D} \cdot d\vec{S} = Q_{\text{interna}} \quad (\text{Lei de Gauss})$$

Fazendo  $\Delta h \rightarrow 0$  (tendendo a fronteira), obtemos:

(i) Para a fronteira com carga ( $\rho_s \neq 0$ ):

$$D_{n1}\Delta S - D_{n2}\Delta S = \rho_s\Delta S \Rightarrow \boxed{D_{n1} - D_{n2} = \rho_s} \quad (\text{Neste caso } D_n \text{ é descontinuo})$$

(ii) Para a fronteira sem carga ( $\rho_s = 0$ ):

$$\boxed{D_{n1} = D_{n2}} \quad (\text{Neste caso } D_n \text{ é contínuo})$$

Relação de contorno se o meio 2 for um condutor perfeito ( $\sigma_2 \rightarrow \infty \Rightarrow E_2 = D_2 = 0$ ):

**Componentes tangenciais:**  $\boxed{E_{t1} = 0} \Rightarrow \boxed{D_{t1} = 0}$  (as comp. tangenciais se anulam)

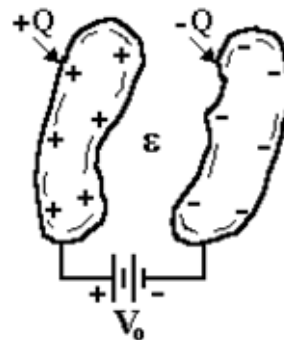
**Componentes normais:**  $\boxed{D_{n1} = \rho_s} \Rightarrow \boxed{E_{n1} = \rho_s / \epsilon_1}$  (existem somente comp. normais)



## 5.7 – CAPACITÂNCIA

Qualquer dispositivo formado por 2 condutores separados por um dielétrico forma um capacitor (figura) cuja capacitância é definida como:

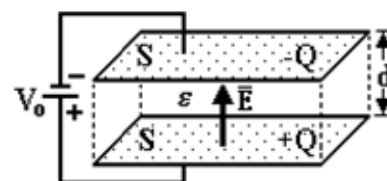
$$C = \frac{Q}{V_o} = \frac{\oint_S \epsilon \vec{E} \cdot d\vec{S}}{-\int_L^+ \vec{E} \cdot d\vec{L}} \quad [F] \quad (\text{parâmetro positivo})$$



## 5.8 – EXEMPLOS DE CÁLCULO DE CAPACITÂNCIA

*Análise do capacitor de placas planas paralelas:*

$$C = \frac{Q}{V_o} = \frac{\int_0^S \epsilon E \vec{a}_z \cdot dS \vec{a}_z}{-\int_d^0 E \vec{a}_z \cdot dz \vec{a}_z} = \frac{\epsilon E S}{-E(0-d)} \Rightarrow \boxed{C = \frac{\epsilon S}{d}}$$



Observe também as seguintes fórmulas para este capacitor:

$$V_o = Ed$$

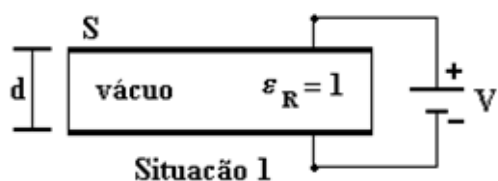
$$D = \epsilon E = \frac{Q}{S} = \rho_s$$

onde os campos E e D são considerados constantes no dielétrico do capacitor ideal.

**Ex. 1:** Carrega-se um capacitor de placas planas paralelas no espaço livre com uma fonte de tensão constante. Desconsiderando os efeitos de bordas (capacitor ideal), determinar as variações instantâneas sofridas por:  $W_E$ , D, E, C, Q, V, e  $\rho_s$ , quando:

- O espaço livre entre as placas é substituído por um dielétrico com  $\epsilon_R = 3$ ;
- A fonte de tensão é removida com as placas afastadas tal que  $d_2 = 3d_1$ .

*Solução do caso 1(a) – ver figura abaixo:*



$$V_2 = V_1 = V \quad (\text{mesma fonte de tensão})$$

$$E_2 = E_1 \quad (E = V/d)$$

$$D_2 = 3 D_1 \quad (D = \epsilon_R \epsilon_0 E)$$

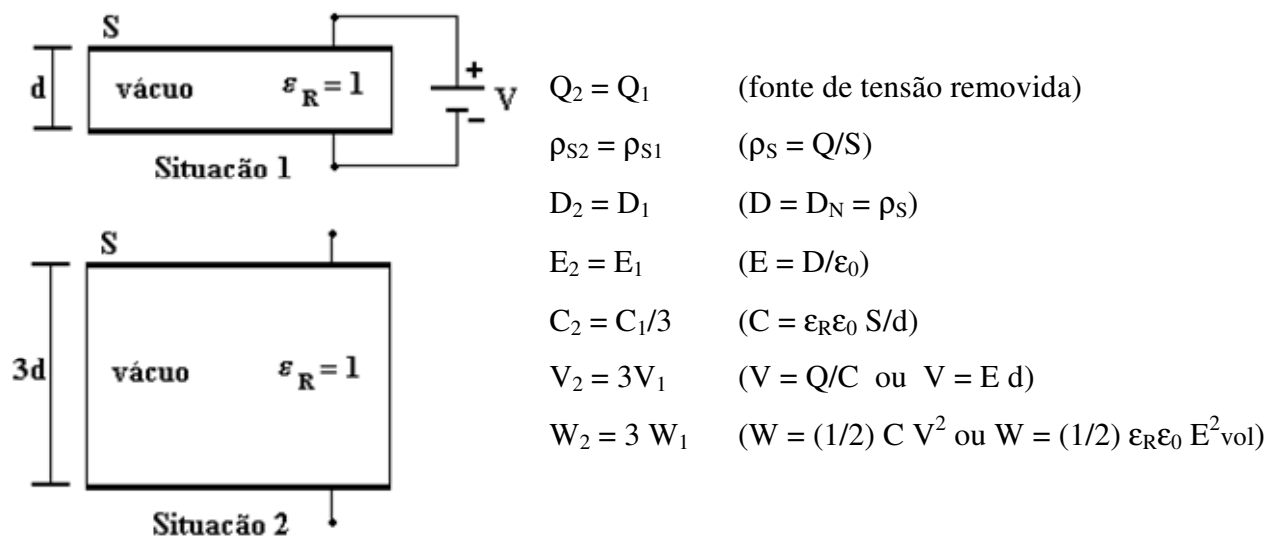
$$C_2 = 3 C_1 \quad (C = \epsilon_R \epsilon_0 S/d)$$

$$\rho_{s2} = 3 \rho_{s1} \quad (\rho_s = D_N = D)$$

$$Q_2 = 3 Q_1 \quad (Q = \rho_s S)$$

$$W_2 = 3 W_1 \quad (W = (1/2) C V^2 \text{ ou } W = (1/2) \epsilon_R \epsilon_0 E^2 \text{ vol})$$

**Solução do caso 1(b) – ver figura abaixo:**



**Ex. 2:** Determinar C de um *capacitor coaxial* de raios **a** e **b** ( $a < b$ ).

Para uma Gaussiana cilíndrica de raio  $a < \rho < b$  e comprimento L

$$\oint \vec{D} \cdot d\vec{S} = Q_{\text{interna}}$$

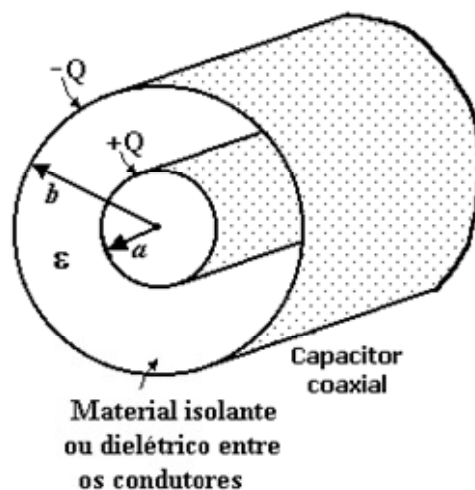
$$D 2\pi \rho L = +Q \Rightarrow D = \frac{Q}{2\pi \rho L}$$

$$\vec{E} = \frac{\vec{D}}{\epsilon} = \frac{Q}{2\pi \epsilon \rho L} \vec{a}_\rho$$

$$V_o = V_{ab} = -\int_{\rho=b}^a \frac{Q}{2\pi \epsilon \rho L} \vec{a}_\rho \cdot d\rho \vec{a}_\rho$$

$$V_o = \left[ \frac{-Q}{2\pi \epsilon L} \ln \rho \right]_b^a \Rightarrow V_o = \frac{Q}{2\pi \epsilon L} \ln \frac{b}{a}$$

$$C = \frac{Q}{V_o} = \frac{2\pi \epsilon L}{\ln(b/a)}$$



**Ex. 3:** Determinar C de um *capacitor esférico* de raios **a** e **b** ( $a < b$ ).

Para uma gaussiana esférica de raio  $a < r < b$

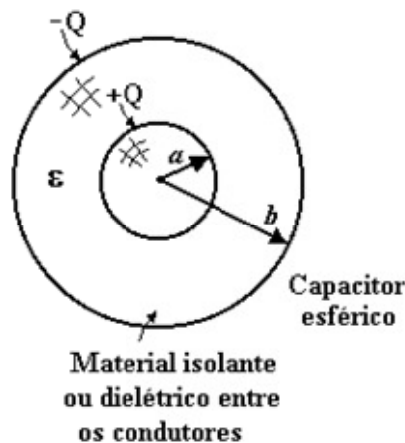
$$\oint \vec{D} \cdot d\vec{S} = Q_{\text{interna}}$$

$$D 4\pi r^2 = Q \Rightarrow D = \frac{Q}{4\pi r^2}$$

$$\vec{E} = \frac{\vec{D}}{\epsilon} = \frac{Q}{4\pi \epsilon r^2} \vec{a}_r$$

$$V_o = V_{ab} = -\int_{r=b}^a \frac{Q}{4\pi \epsilon r^2} \vec{a}_r \cdot dr \vec{a}_r$$

$$V_o = \frac{-Q}{4\pi \epsilon} \left[ \frac{-1}{r} \right]_b^a \Rightarrow V_o = \frac{Q}{4\pi \epsilon_0} \left( \frac{1}{a} - \frac{1}{b} \right)$$

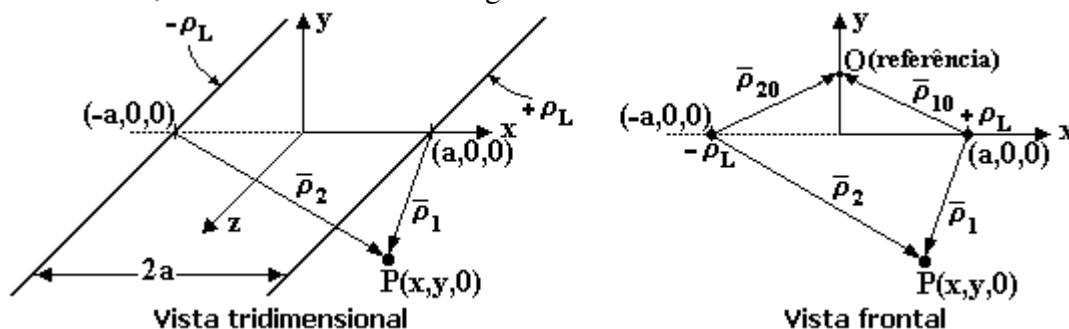




$$C = \frac{Q}{V_o} = \frac{4\pi\epsilon}{\frac{1}{a} - \frac{1}{b}} \quad (\text{Se } b \rightarrow \infty \Rightarrow C = 4\pi\epsilon a = \text{capacitância do capacitor esférico isolado})$$

**Ex. 4:** Determinar  $C$  de uma *linha de transmissão com dois fios infinitos paralelos*

Seja uma configuração condutora constituída por 2 fios (infinitos) paralelos, situados em um meio de permissividade  $\epsilon$ , conforme mostrado na figura abaixo.



Foi visto no capítulo IV que a diferença de potencial entre 2 pontos A e B devido a um fio infinito com carga uniformemente distribuída é dada por:

$$V_{AB} = \frac{\rho_L}{2\pi\epsilon} \ln \frac{\rho_B}{\rho_A} \quad (\rho_A \text{ e } \rho_B \text{ são as menores distâncias do fio aos pontos A e B}) \quad (01)$$

Para os 2 fios infinitos paralelos da figura, com cargas simétricas com densidade linear uniforme, o potencial do ponto  $P(x, y, 0)$  em relação a um ponto qualquer  $O$  (referência) no plano  $x = 0$ , é:

$$V_{PO} = \frac{\rho_L}{2\pi\epsilon} \ln \frac{\rho_{10}}{\rho_1} - \frac{\rho_L}{2\pi\epsilon} \ln \frac{\rho_{20}}{\rho_2} = \frac{\rho_L}{2\pi\epsilon} \ln \frac{\rho_2}{\rho_1} \quad (02)$$

onde:  $\rho_1$  e  $\rho_{10} = \rho_0$  são as menores distâncias do fio 1 (carga +) aos pontos  $P$  e  $O$ , respectivamente;  
 $\rho_2$  e  $\rho_{20} = \rho_0$  são as menores distâncias do fio 2 (carga -) aos pontos  $P$  e  $O$ , respectivamente.

Da figura tem-se:

$$\rho_1 = \sqrt{(x-a)^2 + y^2} \quad (03)$$

$$\rho_2 = \sqrt{(x+a)^2 + y^2} \quad (04)$$

Substituindo (03) e (04) em (02) e fazendo  $V_{PO} = V$  (com a referência  $V_0 = 0$  implícita), obtém-se:

$$V = \frac{\rho_L}{2\pi\epsilon} \ln \sqrt{\frac{(x+a)^2 + y^2}{(x-a)^2 + y^2}} = \frac{\rho_L}{4\pi\epsilon} \ln \frac{(x+a)^2 + y^2}{(x-a)^2 + y^2} \quad (05)$$

Seja  $V = V_1 = \text{constante}$ , uma superfície equipotencial. Então, o lugar geométrico dos pontos no espaço em que  $V = V_1$  é obtido fazendo:

$$\frac{(x+a)^2 + y^2}{(x-a)^2 + y^2} = e^{4\pi\epsilon V_1 / \rho_L} = k_1 \quad (06)$$

onde  $k_1$  é uma constante arbitrária dependente de  $V_1$  e expressa por:

$$V_1 = \frac{\rho_L}{4\pi\epsilon} \ln k_1 \quad (07)$$





Desenvolvendo a expressão (06) temos:

$$\begin{aligned} k_1(x^2 - 2ax + a^2 + y^2) &= x^2 + 2ax + a^2 + y^2 \\ x^2(k_1 - 1) - 2ax(k_1 + 1) + (a^2 + y^2)(k_1 - 1) &= 0 \\ x^2 - 2ax \frac{k_1 + 1}{k_1 - 1} + (a^2 + y^2) &= 0 \\ \left(x - a \frac{k_1 + 1}{k_1 - 1}\right)^2 + y^2 &= \left(\frac{2a\sqrt{k_1}}{k_1 - 1}\right)^2 \end{aligned} \quad (08)$$

A equação (08) representa uma circunferência centrada em:

$$x = h = a \frac{k_1 + 1}{k_1 - 1} \text{ e } y = 0 \quad (09)$$

e raio:

$$r = b = \frac{2a\sqrt{k_1}}{k_1 - 1} \quad (10)$$

De (09), pode-se isolar  $k_1$ , do seguinte modo:

$$\begin{aligned} k_1 h - h &= a k_1 + a \\ k_1(h - a) &= h + a \\ k_1 &= \frac{h + a}{h - a} \end{aligned} \quad (11)$$

Substituindo (11) em (10):

$$\begin{aligned} b \left( \frac{h + a}{h - a} - 1 \right) &= 2a \sqrt{\frac{h + a}{h - a}} \\ b \frac{2a}{h - a} &= 2a \sqrt{\frac{h + a}{h - a}} \\ \frac{b^2}{(h - a)^2} &= \frac{h + a}{h - a} \\ \frac{b^2}{h - a} &= h + a \\ b^2 &= h^2 - a^2 \\ a &= \sqrt{h^2 - b^2} \end{aligned} \quad (12)$$

Substituindo agora (12) em (11) e racionalizando o denominador:

$$k_1 = \frac{h + \sqrt{h^2 - b^2}}{h - \sqrt{h^2 - b^2}} = \frac{h + \sqrt{h^2 - b^2}}{h - \sqrt{h^2 - b^2}} \times \frac{h + \sqrt{h^2 - b^2}}{h + \sqrt{h^2 - b^2}} = \frac{(h + \sqrt{h^2 - b^2})^2}{h^2 - (h^2 - b^2)} = \frac{(h + \sqrt{h^2 - b^2})^2}{b^2}$$

ou

$$k_1 = \left( \frac{h + \sqrt{h^2 - b^2}}{b} \right)^2 \quad (13)$$



Substituindo (13) em (07):

$$V_1 = \frac{\rho_L}{4\pi\epsilon} \ln \left( \frac{h + \sqrt{h^2 - b^2}}{b} \right)^2 = \frac{\rho_L}{2\pi\epsilon} \ln \frac{h + \sqrt{h^2 - b^2}}{b} \quad (14)$$

De (14) podemos obter a capacitância de um capacitor formado por um condutor cilíndrico no potencial  $V = V_1$  e um plano condutor no potencial  $V = 0$ , separados por uma distância  $h$  (ver figura abaixo). Esta pode ser obtida pela definição de capacitância por:

$$C = \frac{Q}{V_o} = \frac{\rho_L L}{V_1 - 0} \Rightarrow C = \frac{2\pi\epsilon L}{\ln \left[ \left( h + \sqrt{h^2 - b^2} \right) / b \right]} \quad (15)$$

Parab  $\ll h$ , obtém-se a capacitância de um capacitor formado por um fio condutor (de raio muito pequeno e igual a  $b$ ) e um plano condutor, separados por uma distância  $h$ :

$$C = \frac{2\pi\epsilon L}{\ln(2h/b)} \quad (16)$$

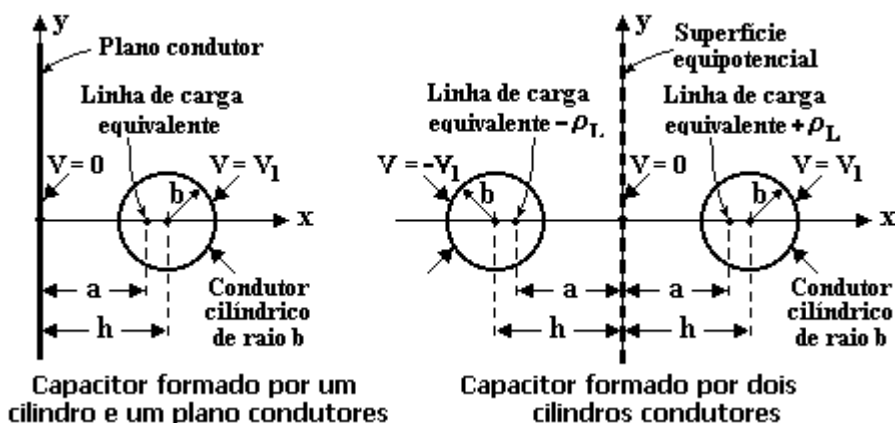
A expressão (15) também permite obter a capacitância do capacitor formado por 2 condutores cilíndricos nos potenciais  $V_1$  e  $-V_1$  (cargas simétricas), separados um do outro por uma distância  $2h$  (ver figura abaixo).

Esta capacitância, obtida pela definição e da aplicação do método das imagens, corresponde a metade do valor encontrado em (15), isto é:

$$C' = \frac{Q}{V_o} = \frac{\rho_L L}{V_1 - (-V_1)} = \frac{\rho_L L}{2V_1} = \frac{C}{2} \Rightarrow C' = \frac{\pi\epsilon L}{\ln \left[ \left( h + \sqrt{h^2 - b^2} \right) / b \right]} \quad (17)$$

Parab  $\ll h$ , obtém-se a capacitância de um capacitor formado por 2 fios condutores (de raios muito pequenos e iguais a  $b$ ), separados por uma distância  $2h$  – configuração de uma linha de transmissão:

$$C' = \frac{\pi\epsilon L}{\ln(2h/b)} \quad (18)$$





## 5.9 – EXERCÍCIOS PROPOSTOS

- 5.1) Uma carga está distribuída, com densidade linear de carga  $\rho_L = \pi/z$  [ $\eta\text{C/m}$ ], ao longo do segmento que se estende do ponto  $(0,0,a)$  ao ponto  $(0,0,3a)$ , sendo  $a > 0$ . Sabendo que sobre o plano  $z = 0$  existe um plano condutor bastante grande, pede-se:
- Determinar a densidade superficial de carga na origem;
  - Se esta carga linearmente distribuída fosse concentrada em um ponto, determinar a posição no eixo  $z$  que ela deveria ser colocada para obter a mesma solução de (a).

Respostas: a)  $\rho_s = \frac{-2}{9a^2} [\eta\text{C/m}^2]$ ; b)  $z = \frac{3}{2} \sqrt{\ln 3} a = 1,5722a$  [m].

- 5.2) Suponha que o plano  $z = 1$  m separa o espaço em duas regiões com dielétricos de permeabilidades relativas  $\epsilon_{R1} = 2$  e  $\epsilon_{R2} = 4$ . A região 1 contém uma carga pontual de  $10$  [ $\eta\text{C}$ ] situada na origem. Determinar, a partir das condições de contorno para materiais dielétricos perfeitos ( $D_{n1} = D_{n2}$  e  $E_{t1} = E_{t2}$ ), o seguinte:
- O campo elétrico na região 1, aplicado ao ponto  $(0, 2, 1)$ ;
  - O campo elétrico na região 2, aplicado ao ponto  $(0, 2, 1)$ ;
  - O ângulos formados pelos dois campos com a direção normal ao plano  $z = 1$ .

Respostas: a)  $\vec{E}_1 = \frac{9\sqrt{5}}{5} \cdot (2\vec{a}_y + \vec{a}_z)$  [V/m]; b)  $\vec{E}_2 = \frac{9\sqrt{5}}{10} \cdot (4\vec{a}_y + \vec{a}_z)$  [V/m];  
c)  $\theta_1 = 63,44^\circ$  e  $\theta_2 = 75,96^\circ$ .

- 5.3) A região 1, definida por  $0 < \phi < \pi/4$  rad, contém um material dielétrico de permissividade relativa  $\epsilon_{R1} = 2$ , enquanto que a região 2, definida por  $\pi/4 < \phi < \pi/2$  rad, contém outro material dielétrico de permissividade relativa  $\epsilon_{R2} = 4$ . Sabendo-se que a densidade de fluxo elétrico na região 1 é dada por  $\vec{D}_1 = 3\vec{a}_\rho + 4\vec{a}_\phi + 5\vec{a}_z$  [ $\eta\text{C/m}^2$ ], determinar, na região 2:

a)  $\vec{D}_{n2}$ ;      b)  $\vec{D}_{t2}$ ;      c)  $\vec{D}_2$ ;      d)  $\vec{P}_2$ ;

Respostas: a)  $\vec{D}_{n2} = 4\vec{a}_\phi$ ; b)  $\vec{D}_{t2} = 6\vec{a}_\rho + 10\vec{a}_z$ ; c)  $\vec{D}_2 = 6\vec{a}_\rho + 4\vec{a}_\phi + 10\vec{a}_z$ ;  
d)  $\vec{P}_2 = 4,5\vec{a}_\rho + 3\vec{a}_\phi + 7,5\vec{a}_z$ .

- 5.4) A superfície de separação entre dois dielétricos é expressa pela equação do plano dada por:  $\frac{x}{3} + \frac{y}{4} + z = 1$ . O dielétrico 1 contém a origem e possui permissividade relativa  $\epsilon_{R1} = 2$  e o dielétrico 2 possui permissividade relativa  $\epsilon_{R2} = 4$ . Na região do dielétrico 2 existe um campo elétrico uniforme expresso por  $\vec{E}_2 = \vec{a}_x + 3\vec{a}_y$ . Determinar os seguintes parâmetros (usando as condições de contorno, quando necessário):

a)  $\vec{a}_{n2}$  (versor normal ao plano do lado da região 2); b)  $\vec{E}_{2n}$ ; c)  $\vec{E}_{2t}$ ; d)  $\vec{E}_{1n}$ ; e)  $\vec{E}_{1t}$ .

Respostas: a)  $\vec{a}_{n2} = \frac{1}{13} \cdot (4\vec{a}_x + 3\vec{a}_y + 12\vec{a}_z)$ ; b)  $\vec{E}_{2n} = \frac{1}{13} \cdot (4\vec{a}_x + 3\vec{a}_y + 12\vec{a}_z)$ ;  
c)  $\vec{E}_{2t} = \frac{1}{13} \cdot (9\vec{a}_x + 36\vec{a}_y - 12\vec{a}_z)$ ; d)  $\vec{E}_{1n} = \frac{2}{13} \cdot (4\vec{a}_x + 3\vec{a}_y + 12\vec{a}_z)$ ;  
e)  $\vec{E}_{1t} = \frac{1}{13} \cdot (9\vec{a}_x + 36\vec{a}_y - 12\vec{a}_z)$ .



5.5) Seja um condutor plano no potencial zero situado uma distância  $h$  do eixo de um condutor

cilíndrico, de raio  $b$ , no potencial  $V_1$ , expresso por:  $V_1 = \frac{\rho_L}{2\pi\epsilon} \ln \frac{h + \sqrt{h^2 - b^2}}{b}$  [V], sendo  $\rho_L$

o módulo da densidade de carga (em C/m) no cilindro, no plano, ou na linha equivalente de cargas (supondo uniforme) e  $\epsilon$  a permissividade elétrica do meio. Determinar:

- A capacitância (a partir da definição) entre o condutor plano e o condutor cilíndrico acima;
- A capacitância entre dois condutores cilíndricos paralelos, mesmo raio  $b$  e potenciais simétricos  $\pm V_1$ , com seus eixos separados por uma distância  $2h$ ;
- Repetir os itens (a) e (b) supondo  $b \ll h$ .

$$\text{Respostas: a) } C_1 = \frac{2\pi\epsilon L}{\ln\left[\left(h + \sqrt{h^2 - b^2}\right)/b\right]}; \text{ b) } C_2 = \frac{\pi\epsilon L}{\ln\left[\left(h + \sqrt{h^2 - b^2}\right)/b\right]};$$

$$\text{c) } C_1 = \frac{2\pi\epsilon L}{\ln(2h/b)} \text{ e } C_2 = \frac{\pi\epsilon L}{\ln(2h/b)}.$$

- 5.6) a) Determinar a expressão que fornece a diferença de potencial  $V_{AB}$  entre 2 pontos A e B no espaço livre devido a uma linha infinita de carga com densidade linear constante  $\rho_L$ .
- b) Uma linha infinita de carga está paralela a um plano condutor. Determinar o potencial  $V$  no ponto P equidistante entre o plano condutor (com  $V = 0$ ) e a linha com  $\rho_L = 100\pi\epsilon_0$  [C/m].
- c) Para a mesma configuração do item (b) determinar a magnitude do campo elétrico resultante  $E$  neste mesmo ponto P.

$$\text{Respostas: a) } V_{AB} = \frac{\rho_L}{2\pi\epsilon_0} \ln\left(\frac{\rho_B}{\rho_A}\right); \text{ b) } V_P = 50 \ln 3 = 54,93 \text{ [V]}; \text{ c) } E = \frac{400}{3h} \text{ [V/m]}.$$

(Nota:  $h$  = distância da linha infinita ao plano condutor.)

- 5.7) Uma configuração de carga é constituída por duas cargas pontuais  $Q_1 = +Q$  e  $Q_2 = -Q$ , situadas em  $(0, a, 0)$  e  $(2a, a, 0)$ , respectivamente, e um plano condutor aterrado ( $V = 0$ ) em  $y = 0$ . Determinar (em função de  $Q, a$  e  $\epsilon_0$ ):
- O potencial elétrico no ponto  $P(a, a, 0)$ ;
  - O vetor campo elétrico no ponto  $P(a, a, 0)$ ;
  - O vetor força resultante sobre a carga  $Q_2$ .

$$\text{Respostas: a) } V_P = 0; \text{ b) } \vec{E}_P = \frac{Q \cdot (25 - \sqrt{5})}{50\pi\epsilon_0 a^2} \vec{a}_x; \text{ c) } \vec{F}_2 = \frac{Q^2 \cdot (\sqrt{2} - 4)}{64\pi\epsilon_0 a^2} (\vec{a}_x + \vec{a}_y).$$

5.8) Um condutor de cobre (condutividade  $\sigma = 5,8 \cdot 10^7$  [S/m]) tem a forma de uma cunha truncada, de dimensões  $2 < \rho < 12$  [cm],  $0 < \phi < 30^\circ$ ,  $0 < z < 4$  [cm].

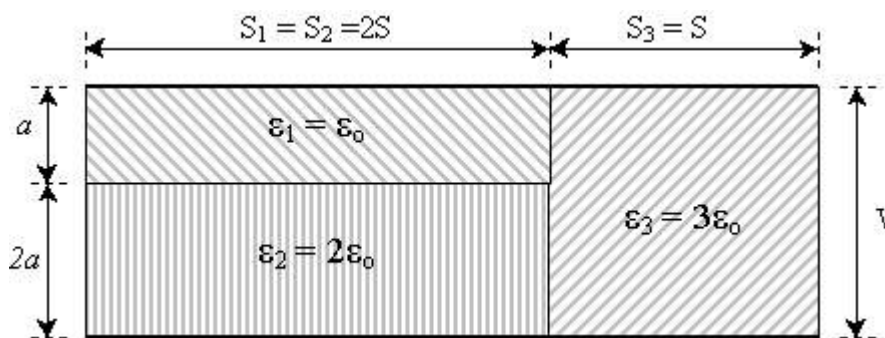
Se  $\vec{E} = \frac{10^{-4}}{\rho} \vec{a}_\rho$  [V/m], no interior do condutor, determinar:

- A corrente total que atravessa o condutor;
  - A resistência do condutor,
  - O valor do potencial no centro do condutor em relação a uma de suas extremidades.
- Respostas: a)  $I = 121,47$  [A]; b)  $R = 1,475$  [ $\mu\Omega$ ];

$$\text{c) } V_{Pb} = 0,54 \cdot 10^{-4} \text{ [V] ou } V_{Pa} = -1,25 \cdot 10^{-4} \text{ [V]}.$$



- 5.9) A região entre as placas planas de um capacitor de placas paralelas é constituída por 3 camadas diferentes de dielétricos, dispostas como na figura abaixo ( $\epsilon$  = permissividade do dielétrico,  $S$  = área,  $a$  = comprimento). Determinar:
- As capacitâncias individuais dos três capacitores formados ( $C_1$ ,  $C_2$  e  $C_3$ ) e a capacitância total resultante ( $C_T$ );
  - As diferenças de potencial existentes nos dielétricos 1 e 2, isto é  $V_1$  e  $V_2$ ;
  - As magnitudes dos campos elétricos nos três dielétricos, isto é  $E_1$ ,  $E_2$  e  $E_3$ ;
  - As magnitudes das densidades de fluxonos três dielétricos, isto é  $D_1$ ,  $D_2$  e  $D_3$ .



Respostas: a)  $C_1 = C_2 = 2 \frac{\epsilon_0 S}{a}$ ,  $C_3 = \frac{\epsilon_0 S}{a}$  e  $C_T = 2 \frac{\epsilon_0 S}{a}$ ;

b)  $V_1 = V_2 = \frac{V}{2}$ ; c)  $E_1 = \frac{V}{2a}$ ,  $E_2 = \frac{V}{4a}$  e  $E_3 = \frac{V}{3a}$ ;

d)  $D_1 = D_2 = \frac{\epsilon_0 V}{2a}$  e  $D_3 = \frac{\epsilon_0 V}{a}$ .

- 5.10) Um arco, carregado com carga distribuída com densidade constante  $\rho_L$  representa a metade de um círculo de raio  $a$ . Sabendo-se que este arco está em pé, com apenas suas extremidades apoiadas sobre um plano condutor, porém isoladas deste, determinar o campo elétrico ( $\vec{E}$ ) obtido no centro do círculo formado pelo arco.

Resposta:  $\vec{E} = \frac{-\rho_L}{\pi\epsilon_0 a} \vec{a}_y$ . (Nota: Adotou-se o plano condutor situado sobre  $y = 0$ )

- 5.11) A capacitância de um capacitor coaxial de comprimento  $L$  e condutores interno e externo de raios  $a$  e  $b$ , respectivamente, é dada pela expressão:

$$C = \frac{2\pi\epsilon L}{\ln\left(\frac{b}{a}\right)}, \text{ onde } \epsilon \text{ representa a permissividade elétrica do meio entre os condutores.}$$

Seja agora a configuração obtida com três cilindros condutores coaxiais, todos de espessura desprezível, comprimento  $L$  e raios  $a$ ,  $2a$  e  $4a$ . Entre os condutores interno e central existe um dielétrico de permissividade  $\epsilon_1 = \epsilon_0$ , e entre os condutores central e externo existe um dielétrico de permissividade  $\epsilon_2 = 2\epsilon_0$ .



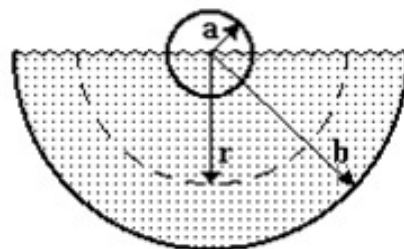
- a) Determinar os valores das três capacitâncias obtidas com esta configuração;  
 b) Se uma tensão  $V$  é aplicada entre os condutores interno e externo, determinar as tensões que surgirão entre os condutores interno e central ( $V_1$ ) e entre os condutores central e externo ( $V_2$ ), ambas tomadas em porcentagem de  $V$ .

Respostas: a)  $C_1 = \frac{2\pi\epsilon_0 L}{\ln 2}$ ,  $C_2 = \frac{4\pi\epsilon_0 L}{\ln 2}$ ,  $C_3 = \frac{4\pi\epsilon_0 L}{3\ln 2}$ ;

b)  $V_1 = 66,67\%$  de  $V$  e  $V_2 = 33,33\%$  de  $V$ .

- 5.12) A figura mostra uma concha de metal semi-esférica de raio  $b = 1$  m cheia de água do mar (condutividade  $\sigma = 4$  S/m). Uma bola de metal de raio  $a = 0,1$  m flutua no centro da concha, ficando a metade mergulhada na água. Pede-se:

- a) Determinar a resistência total entre a bola e a concha.  
 b) Se uma voltagem  $V_0 = 1$  volt for aplicada entre os dois condutores, calcular:
- a corrente resultante,
  - a densidade de corrente na região entre a bola e a concha, supondo função somente de  $r$ ,
  - campo elétrico na região entre a bola e a concha.

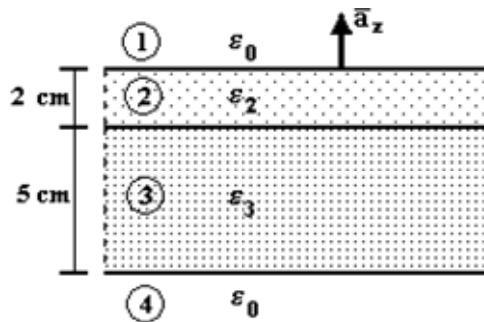


Respostas: a)  $R = \frac{1}{2\pi\sigma} \left( \frac{1}{a} - \frac{1}{b} \right) = 0,358 \Omega$ ;

b)  $I = 2,79$  A,  $\vec{J} = \frac{0,444}{r^2} \vec{a}_r$  [A/m<sup>2</sup>],  $\vec{E} = \frac{0,111}{r^2} \vec{a}_r$  [V/m]

- 5.13) A figura mostra dois blocos infinitos de dielétricos perfeitos e paralelos, rodeados pelo espaço livre, onde na região 3,  $\vec{E}_3 = 6\vec{a}_z$  V/m e  $\vec{P}_3 = 18\vec{a}_z$  pC/m<sup>2</sup>. Se  $\vec{P}_2 = 24\vec{a}_z$  pC/m<sup>2</sup>. Determinar:

- a)  $\epsilon_{R3}$   
 b)  $\epsilon_{R2}$   
 c)  $\vec{E}_1$   
 d) a diferença de potencial através das regiões 2 e 3.



Respostas: a)  $\epsilon_{R3} = 1,339$ ; b)  $\epsilon_{R2} = 1,512$ ;

c)  $\vec{E}_1 = 8,004\vec{a}_z$  [V/m];

d)  $V = V_2 + V_3 = 0,106 + 0,300 = 0,406$  [V]

- 5.14) Uma esfera de raio  $a$  é feita de um dielétrico homogêneo com permissividade elétrica  $\epsilon_R$  constante. A esfera está centrada na origem no espaço livre. Os campos de potencial no interior e exterior da esfera são expressos, respectivamente, por:

$$V_{\text{int}} = -\frac{3rE_0 \cos \theta}{\epsilon_R + 2} \quad \text{e} \quad V_{\text{ext}} = -rE_0 \cos \theta + \frac{a^3 E_0}{r^2} \frac{\epsilon_R - 1}{\epsilon_R + 2} \cos \theta \quad (E_0 = \text{constante})$$

- a) Mostrar que  $\vec{E}_{\text{int}}$  é uniforme (isto é, possui módulo constante).  
 b) Mostrar que  $\vec{E}_{\text{ext}} = E_0 \vec{a}_z$  para  $r \gg a$ .  
 c) Mostrar que estes campos obedecem atodas as condições de fronteira do dielétrico em  $r = a$ .

Atenção: Cuidado para não esquecer o sinal negativo das expressões acima.



Respostas: a)  $\bar{E}_{\text{int}} = \frac{3E_o}{\epsilon_R + 2} (\cos \theta \bar{a}_r - \sin \theta \bar{a}_\theta)$ , portanto  $E_{\text{int}} = \frac{3E_o}{\epsilon_R + 2} = \text{constante}$  ;

b)  $\bar{E}_{\text{ext}} = E_o (\cos \theta \bar{a}_r - \sin \theta \bar{a}_\theta) = E_o \bar{a}_z$ , pois  $\bar{a}_z \cdot \bar{a}_r = \cos \theta$  e  $\bar{a}_z \cdot \bar{a}_\theta = -\sin \theta$  ;

c) De  $\bar{E}_{\text{ext}} = -\bar{\nabla} V_{\text{ext}}$  e  $r=a$ ,  $\bar{E}_{\text{ext}} = \frac{3E_o}{\epsilon_R + 2} (\epsilon_R \cos \theta \bar{a}_r - \sin \theta \bar{a}_\theta) = \bar{E}_{\text{ext}_N} + \bar{E}_{\text{ext}_T}$

De  $\bar{E}_{\text{int}} = -\bar{\nabla} V_{\text{int}}$  e  $r=a$ ,  $\bar{E}_{\text{int}} = \frac{3E_o}{\epsilon_R + 2} (\cos \theta \bar{a}_r - \sin \theta \bar{a}_\theta) = \bar{E}_{\text{int}_N} + \bar{E}_{\text{int}_T}$

Logo, de  $\bar{D}_{N1} = \bar{D}_{N2} \Rightarrow \bar{E}_{\text{ext}_N} = \epsilon_R \bar{E}_{\text{int}_N}$  e de  $\bar{E}_{T1} = \bar{E}_{T2} \Rightarrow \bar{E}_{\text{ext}_T} = \bar{E}_{\text{int}_T}$

5.15) Um capacitor coaxial de raio interno  $a = 2$  cm, raio externo  $b = 4$  cm e comprimento  $L = 1$  m, contém duas camadas dielétricas, sendo uma na região 1 definida por  $a < \rho < c$  com  $\epsilon_{R1} = 2$ , e outra na região 2 definida por  $c < \rho < b$  com  $\epsilon_{R2} = 4$ . Sendo  $c = 3$  cm, pede-se:

- Determinar a capacitância do capacitor coaxial.
- Determinar  $D_\rho$  e  $E_\rho$  em  $\rho = c^-$  (na região 1 próximo a fronteira com a região 2) e em  $\rho = c^+$  (na região 2 próximo a fronteira com a região 1), sabendo-se que  $V = 0$  em  $\rho = b$  (referência) e  $V = 100$  volts em  $\rho = a$ .

Respostas: a)  $C = \frac{C_1 C_2}{C_1 + C_2} = \frac{274,41 \times 773,51}{274,41 + 773,51} \text{ pF} = 202,55 \text{ pF}$

b)  $D_1 = 107,46 \text{ nC/m}^2$ ,  $E_1 = 6,068 \text{ kV/m}$ ,  $D_2 = 107,46 \text{ nC/m}^2$ ,  $E_2 = 3,034 \text{ kV/m}$

5.16) Dado a  $\bar{J} = -10^4 \rho (\sin 2\phi \bar{a}_\rho + \cos 2\phi \bar{a}_\phi)$  [ $\text{A/m}^2$ ], determinar a corrente que cruza:

- a região do plano  $x = 0$ , limitada por  $0 < y < 2$  cm e  $0 < z < 1$  cm, na direção  $-\bar{a}_x$  ;
- a região do plano  $y = 0$ , limitada por  $0 < x < 2$  cm e  $0 < z < 1$  cm, na direção  $-\bar{a}_y$  .

Atenção: O problema é mais fácil de resolver em coordenadas cilíndricas.

Fazer uma figura ilustrativa para facilitar a visualização.

Respostas: a)  $I = 20$  mA; b)  $I = 20$  mA.

5.17) Sabendo as equações  $\bar{D} = \epsilon_o \bar{E} + \bar{P}$  e  $\bar{D} = \epsilon \bar{E}$  (para um dielétrico linear, homogêneo e isotrópico)

- Demonstrar as seguintes relações para a polarização na fronteira entre 2 dielétricos perfeitos:

$$\frac{P_{t2}}{P_{t1}} = \frac{\epsilon_{R2} - 1}{\epsilon_{R1} - 1} \quad \text{e} \quad \frac{P_{n2}}{P_{n1}} = \frac{\epsilon_{R1} (\epsilon_{R2} - 1)}{\epsilon_{R2} (\epsilon_{R1} - 1)},$$

partindo das condições de contorno normal  $\bar{D}_{n1} = \bar{D}_{n2}$  e tangencial  $\bar{E}_{t1} = \bar{E}_{t2}$ .

- Determinar a constante dielétrica (ou permissividade elétrica relativa)  $\epsilon_R$  do material no qual a densidade de fluxo elétrico é quatro vezes a polarização.

Atenção: Empregar somente as fórmulas dadas acima para resolver os dois itens.

Respostas: a) Demonstração; b)  $\epsilon_R = 4/3$



**Anotações**